



Extracting Class Activation Maps from Non-Discriminative Features as well

CVPR 2023

Paper Reading by Yiwei Sun

2023.07.11



- 作者介绍
- 研究背景
- 解决方法
- 实验效果
- 总结反思



作者介绍

3



Qianru Sun 孙倩茹

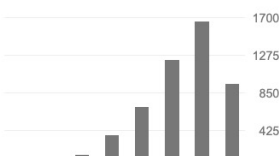
Assistant Professor of Computer Science, Singapore Management University
在 smu.edu.sg 的电子邮件经过验证 - 首页

Meta Learning Continual Learning Image Generation Semantic Segmentation
Computer Vision



引用次数

	总计	2018 年至今
引用	5194	5088
h 指数	26	26
i10 指数	38	32



标题	引用次数	年份
----	------	----

Meta-Transfer Learning for Few-Shot Learning

Q Sun, Y Liu, TS Chua, B Schiele
Proceedings of the IEEE/CVF Conference on Computer Vision and Pattern ...

1023 2019

Pose Guided Person Image Generation

L Ma, X Jia, Q Sun, B Schiele, T Tuytelaars, L Van Gool
31st Conference on Neural Information Processing Systems (NIPS 2017)

839 2017

Disentangled Person Image Generation

L Ma, Q Sun, S Georgoulis, L Van Gool, B Schiele, M Fritz
IEEE Conference on Computer Vision and Pattern Recognition, 99-108

Learning to Self-Train for Semi-Supervised Few-Shot Classification

X Li, Q Sun, Y Liu, S Zheng, Q Zhou, TS Chua, B Schiele
33rd Annual Conference on Neural Information Processing Systems (NeurIPS 2019)

Causal intervention for weakly-supervised semantic segmentation

D Zhang, H Zhang, J Tang, X Hua, Q Sun
34th Annual Conference on Neural Information Processing Systems (NeurIPS 2020)



Zhaozheng Chen

Singapore Management University

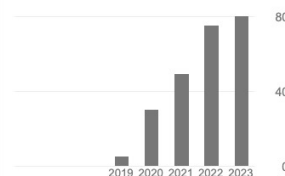
在 phdcs.smu.edu.sg 的电子邮件经过验证 - 首页

Computer Vision



引用次数

	总计	2018 年至今
引用	239	239
h 指数	5	5
i10 指数	4	4



标题	引用次数	年份
----	------	----

Explicit interaction model towards text classification

C Du, Z Chen, F Feng, L Zhu, T Gan, L Nie
Proceedings of the AAAI conference on artificial intelligence 33 (01), 6359-6366

82 2019

Meta-transfer learning through hard tasks

Q Sun, Y Liu, Z Chen, TS Chua, B Schiele
IEEE Transactions on Pattern Analysis and Machine Intelligence (TPAMI)

57 2020

Virtually trying on new clothing with arbitrary poses

N Zheng, X Song, Z Chen, L Hu, D Cao, L Nie
Proceedings of the 27th ACM International Conference on Multimedia (ACMMM ...)

47 2019

Class Re-Activation Maps for Weakly-Supervised Semantic Segmentation

Z Chen, T Wang, X Wu, XS Hua, H Zhang, Q Sun
IEEE/CVF Conference on Computer Vision and Pattern Recognition (CVPR)

44 2022

Urban perception: Sensing cities via a deep interactive multi-task learning framework

W Guan, Z Chen, F Feng, W Liu, L Nie
ACM Transactions on Multimedia Computing, Communications, and Applications ...

8 2021

Extracting Class Activation Maps from Non-Discriminative Features as well

Z Chen, Q Sun
IEEE/CVF Conference on Computer Vision and Pattern Recognition (CVPR)

1 2023

新加坡管理大学 20级博士生
研究方向：弱监督图像分割

开放获取的出版物数量 [查看全部](#)

0 篇文章 4 篇文章

无法查看的文章 可查看的文章

根据资助方的强制性开放获取政策

合著作者

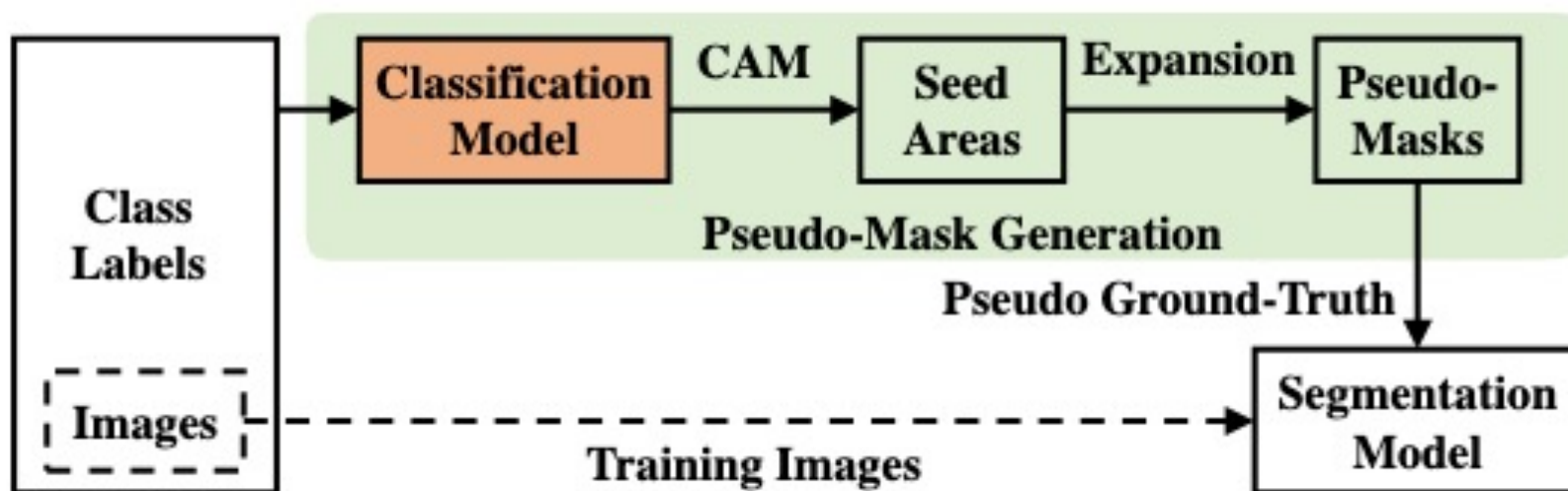


- 作者介绍
- 研究背景
- 解决方法
- 实验效果
- 总结反思

研究背景

5

弱监督语义分割 (WSSS) : 仅依赖图像级标签完成对语义分割网络的训练。



1. 通过语义标签训练分类模型；
2. 得到对应标签的类激活图，将其中的高响应区域作为Seed Areas；
3. 优化Seed Areas，形成相对可靠的分割标签，即Pseudo Masks；
4. 根据Pseudo Masks训练语义分割模型。



研究背景

6

```
if args.train_cam_pass is True:
    # 训练分类模型
    import step.train_cam

    timer = pyutils.Timer('step.train_cam:')
    step.train_cam.run(args)

if args.make_cam_pass is True:
    # 计算CAM
    import step.make_cam

    timer = pyutils.Timer('step.make_cam:')
    step.make_cam.run(args)

if args.make_lpcam_pass is True:
    import step.make_lpcam

    timer = pyutils.Timer('step.make_lpcam:')
    step.make_lpcam.run(args)

if args.eval_cam_pass is True:
    import step.eval_cam

    timer = pyutils.Timer('step.eval_cam:')
    step.eval_cam.run(args)
```

```
if args.cam_to_ir_label_pass is True:
    import step.cam_to_ir_label

    timer = pyutils.Timer('step.cam_to_ir_label:')
    step.cam_to_ir_label.run(args)

if args.train_irn_pass is True:
    # 训练掩膜优化模型
    import step.train_irn

    timer = pyutils.Timer('step.train_irn:')
    step.train_irn.run(args)

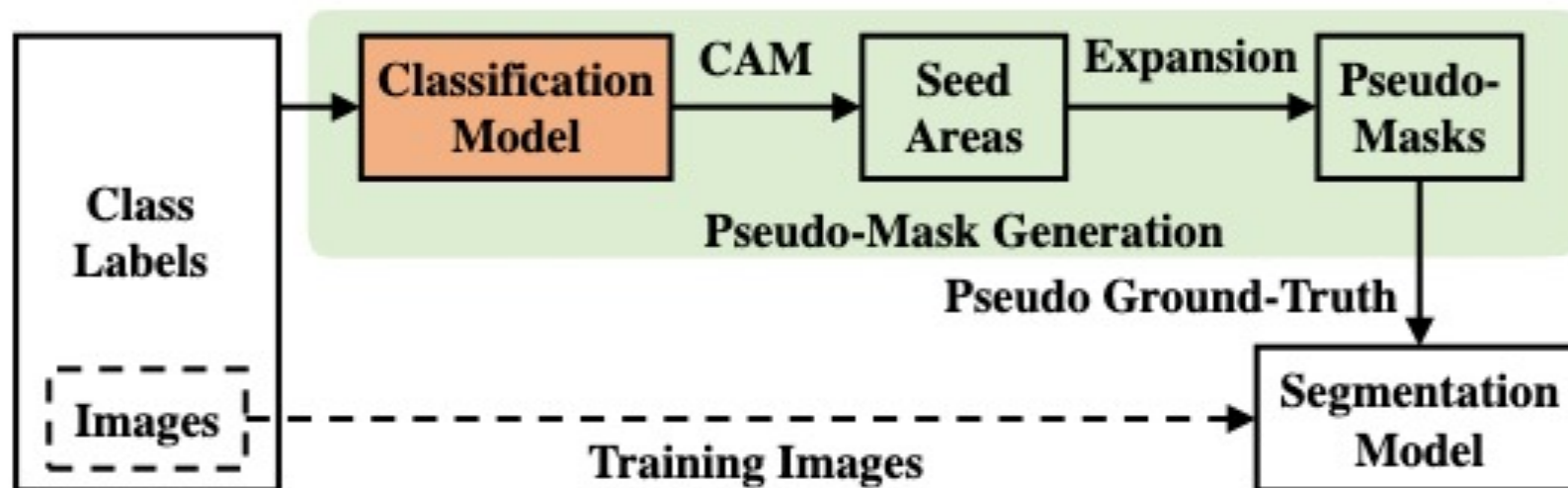
if args.make_sem_seg_pass is True:
    # 训练分割模型
    import step.make_sem_seg_labels
    args.sem_seg_bg_thres = float(args.sem_seg_bg_thres)
    timer = pyutils.Timer('step.make_sem_seg_labels:')
    step.make_sem_seg_labels.run(args)

if args.eval_sem_seg_pass is True:
    import step.eval_sem_seg

    timer = pyutils.Timer('step.eval_sem_seg:')
    step.eval_sem_seg.run(args)
```

研究背景

7



总结：根据CAM构建分割标签对模型进行监督训练。

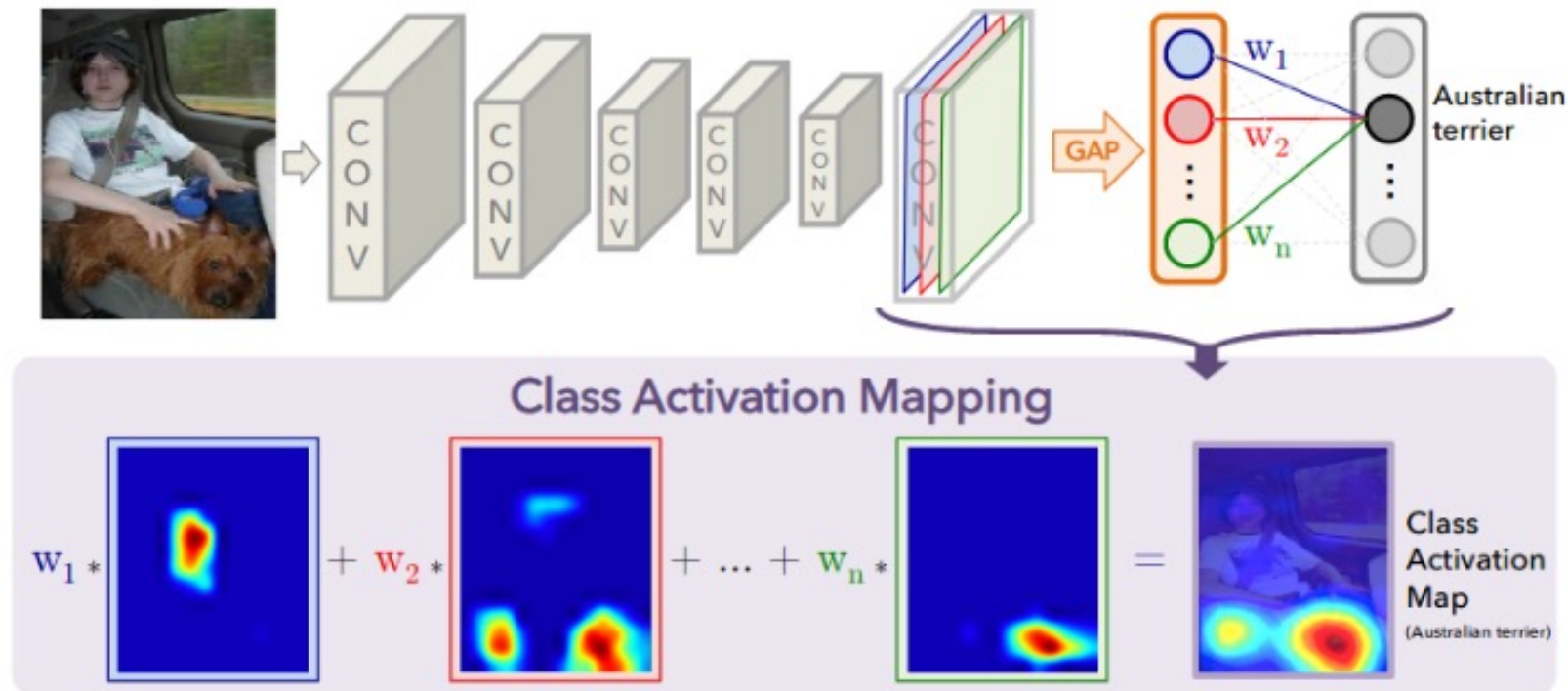
研究重点：

1. 如何得到CAM（本文的研究内容）；
2. 如何优化CAM。

研究背景

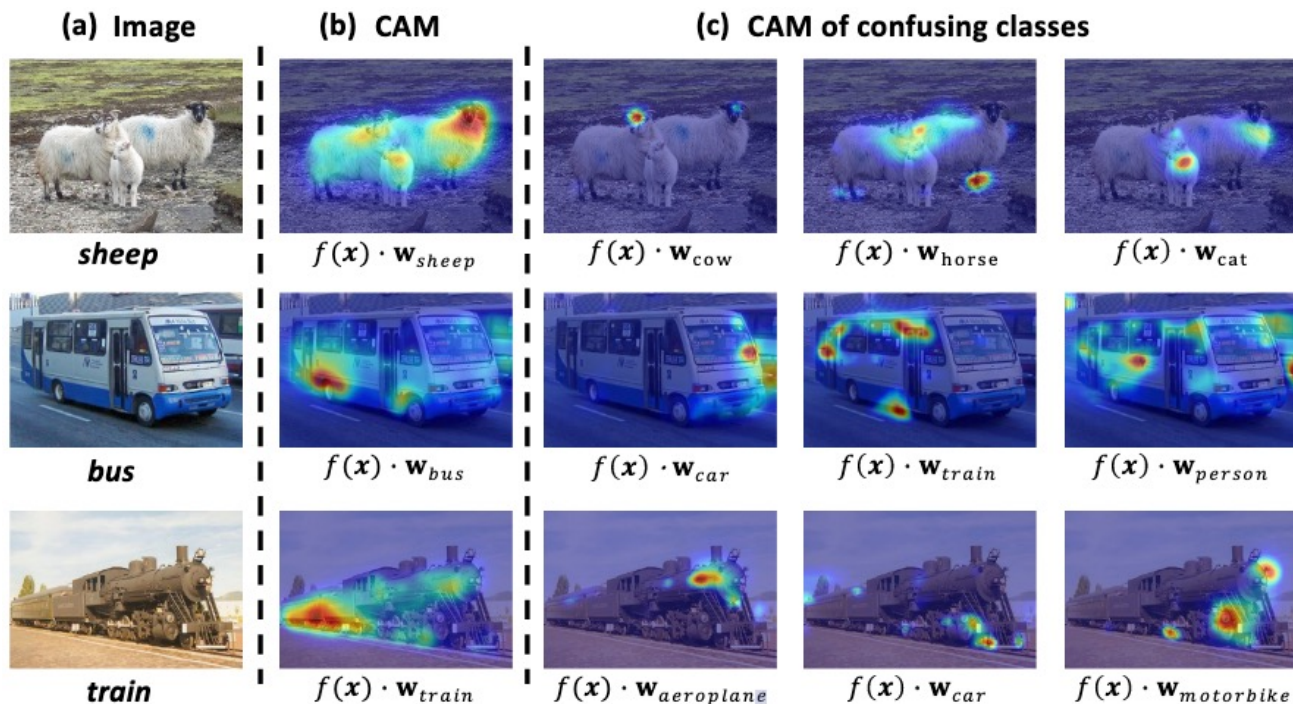
8

CAM的计算：



研究背景

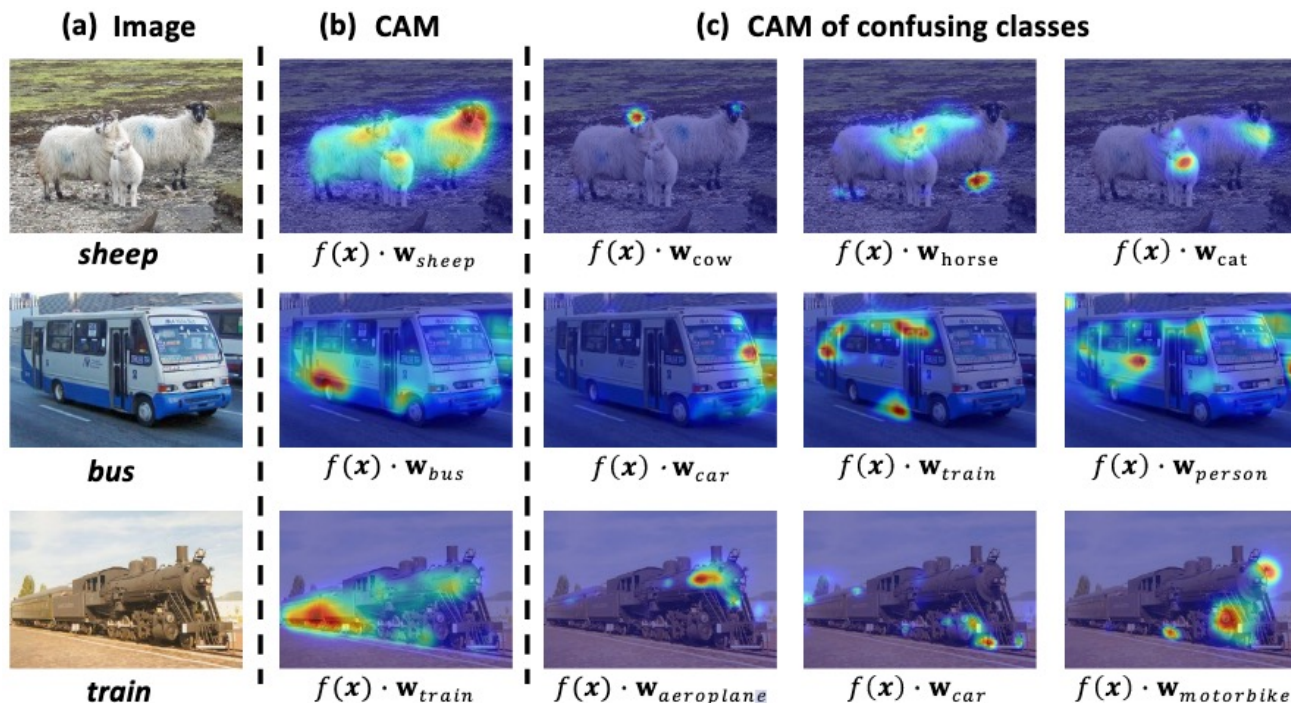
9



问题提出：传统的CAM存在前景区域覆盖率低的问题，如图(b)。

研究背景

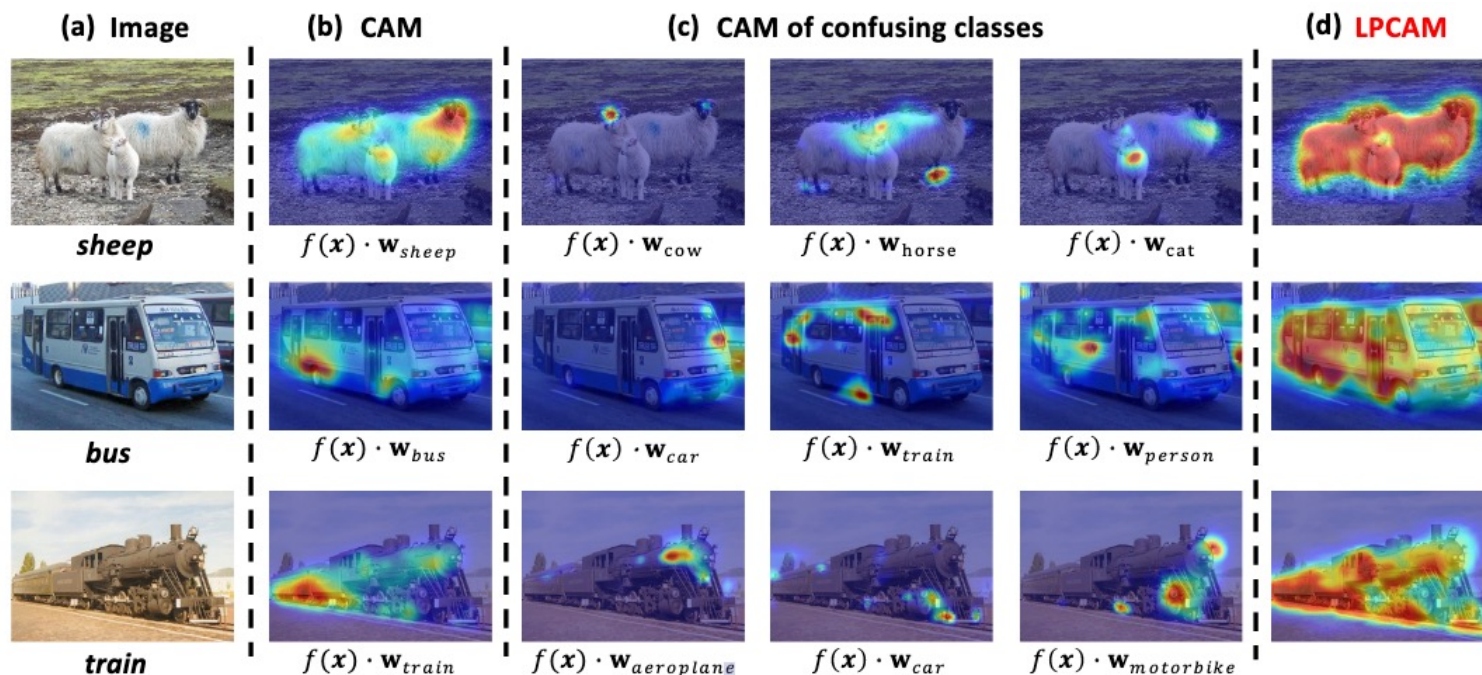
10



问题分析：CAM是通过判别模型得到的，这一类模型自然会关注具有强区分性的区域，并且丢弃弱区分性及无区分性区域（对分类起混淆作用），即(c)。

研究背景

11



问题解决：

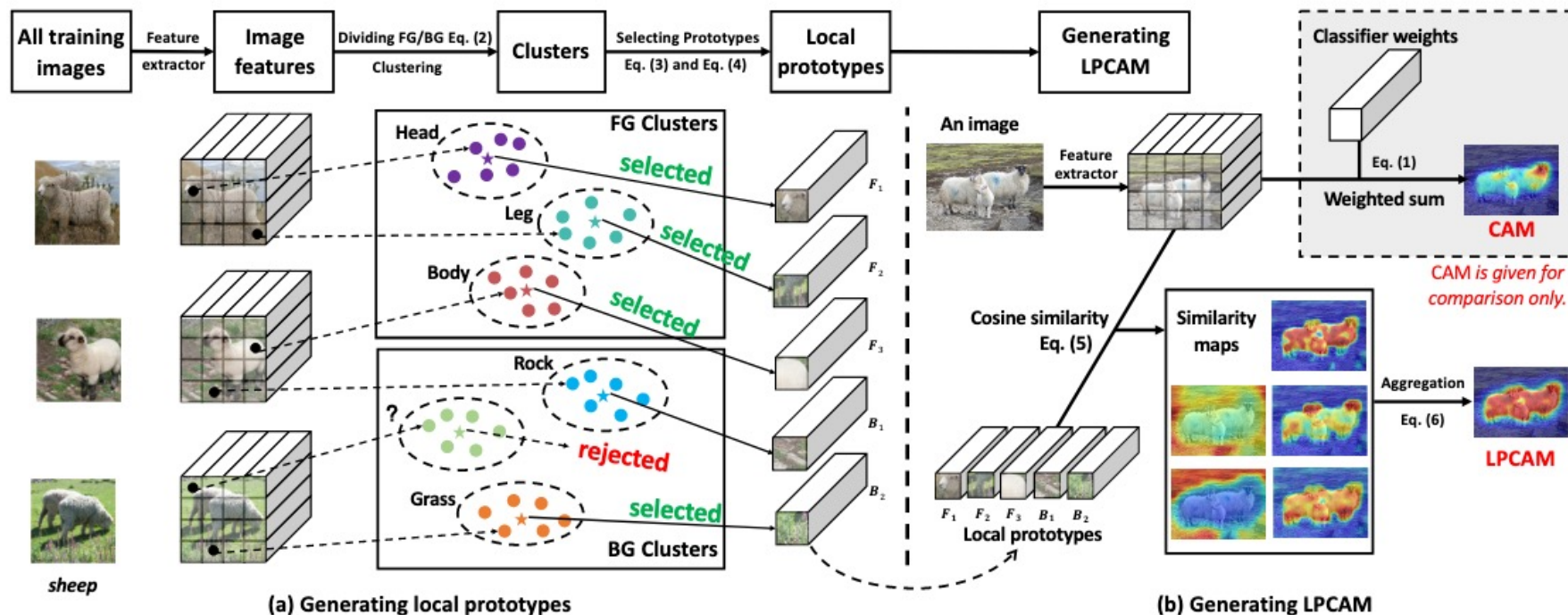
1. 判别模型的分类器是有偏好的，这体现在它只关注分类对象的强判别性局部；
2. 分类器的偏好体现在线性模型的系数当中，这是构建CAM的重要组成部分；
3. 因此，一个直观的想法是构建一种无偏的CAM计算方式。效果如(d)所示。



- 作者介绍
- 研究背景
- 解决方法
- 实验效果
- 总结反思

解决方法

13



1. 对每一类的前景像素块集合和背景像素块集合分别执行K-means算法，各得到K个聚类中心，文中称其为“局部原型”；
2. 每一个原型与特征块的每一个位置计算余弦相似度，得到余弦相似度图，并聚合为最终的类响应图。

解决方法

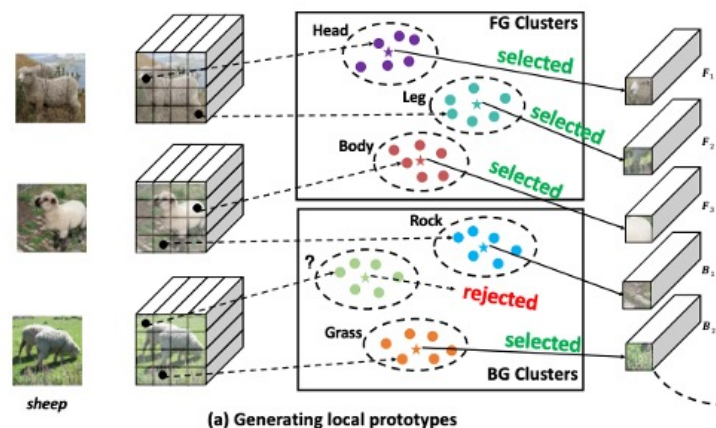
14

如何得到“局部原型”？（以类别n为例）

Step1：筛选满足条件的前景和背景像素块。

$$\text{CAM}_n(\mathbf{x}) = \frac{\text{ReLU}(\mathbf{A}_n)}{\max(\text{ReLU}(\mathbf{A}_n))}, \quad \mathbf{A}_n = \mathbf{w}_n^\top f(\mathbf{x}).$$

$$f(\mathbf{x})^{i,j} \in \begin{cases} \mathcal{F}, & \text{if } \text{CAM}_n^{i,j}(\mathbf{x}) \geq \tau \\ \mathcal{B}, & \text{otherwise} \end{cases}$$



此时我们得到了前景像素集合和背景像素集合 $F = \{F_1, \dots, F_N\}$ $B = \{B_1, \dots, B_M\}$

解决方法

15

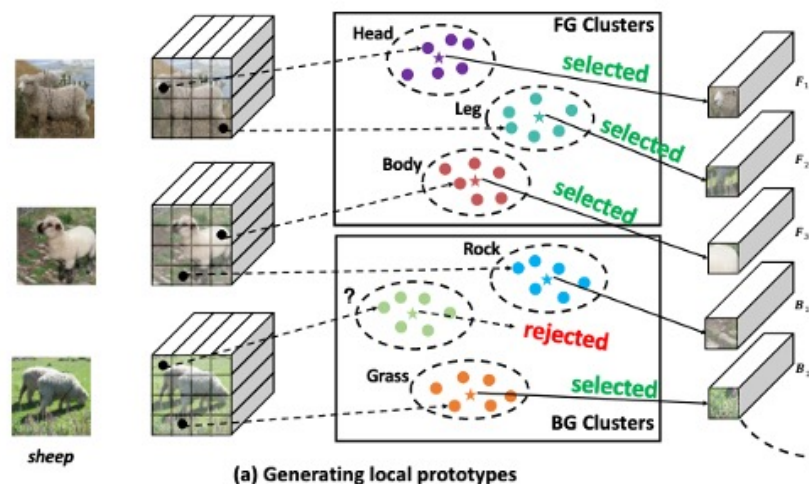
如何得到“局部原型”？（以类别n为例）

Step2：执行K-Means算法，得到K个候选局部原型。

Step3：进一步筛选，得到最终的局部原型。

$$z_i = \frac{\exp(\mathbf{F}_i \cdot \mathbf{w}_n)}{\sum_j \exp(\mathbf{F}_i \cdot \mathbf{w}_j)}$$

$$z_i = \frac{\exp(\mathbf{B}_i \cdot \mathbf{w}_n)}{\sum_j \exp(\mathbf{B}_i \cdot \mathbf{w}_j)}$$



将 $z_i > \mu_f$ 的前景像素块保留，将 $z_i < \mu_b$ 的背景像素块保留。



解决方法

16

可能存在的问题：

Q1：如何构建训练数据的前景像素集合和背景像素集合？

```
img_selected = torch.nonzero(tensor_label[:,class_id])[0].numpy() # 返回非零元素的索引，即返回标签为class_id在数据中的全部索引
feature_selected = []
feature_not_selected = []
for idx in img_selected:
    name = id2name[idx]
    # 取出单个样本的CAM信息
    cam = np.load(osp.join(mask_dir, name+'.npy'), allow_pickle=True).item()
    # 信息1:CAM
    mask = cam['high_res']
    # 信息2:包含的类别
    valid_cat = cam['keys']
    feature_map = tensor_feature[idx].permute(1,2,0)
    size = feature_map.shape[:2]
    mask = F.interpolate(torch.tensor(mask).unsqueeze(0),size)[0]
    # 如果包含的类别正是目前计算的K-Means的Target, 那么计算F和B
    for i in range(len(valid_cat)):
        if valid_cat[i]==class_id:
            mask = mask[i]
            position_selected = mask>select_thres # F
            position_not_selected = mask<select_thres # B
            feature_selected.append(feature_map[position_selected])
            feature_not_selected.append(feature_map[position_not_selected])
feature_selected = torch.cat(feature_selected,0)
feature_not_selected = torch.cat(feature_not_selected,0)

# class center
cluster_ids_x, cluster_centers = kmeans(X=feature_selected, num_clusters=num_cluster, distance='cosine', device=torch.device('cuda:0'), tol=tol)
cluster_ids_x2, cluster_centers2 = kmeans(X=feature_not_selected, num_clusters=num_cluster, distance='cosine', device=torch.device('cuda:0'), tol=tol)
```



解决方法

17

可能存在的问题：

Q2：强判别性区域是单一的，那么最后会不会得到的得到语义相似的局部原型（没有意义的结果）？

我的理解：计算LPCAM的过程是一种后处理，所以涉及到一类样本。分类器在这类样本中的每一个个体上得到的强判别性区域是不同的，因此通常情况下会产生多个不同语义局部原型。

补充说明：多个局部原型是建立在分类器的偏好下生成的，因此用分类器的系数去衡量局部原型的可靠性是合理的，即Step3。

$$z_i = \frac{\exp(\mathbf{F}_i \cdot \mathbf{w}_n)}{\sum_j \exp(\mathbf{F}_i \cdot \mathbf{w}_j)}.$$

解决方法

18

如何得到LPCAM？（以类别n为例）

$$FG_n = \frac{1}{K'_1} \sum_{F'_i \in F'} \text{sim}(f(x), F'_i),$$

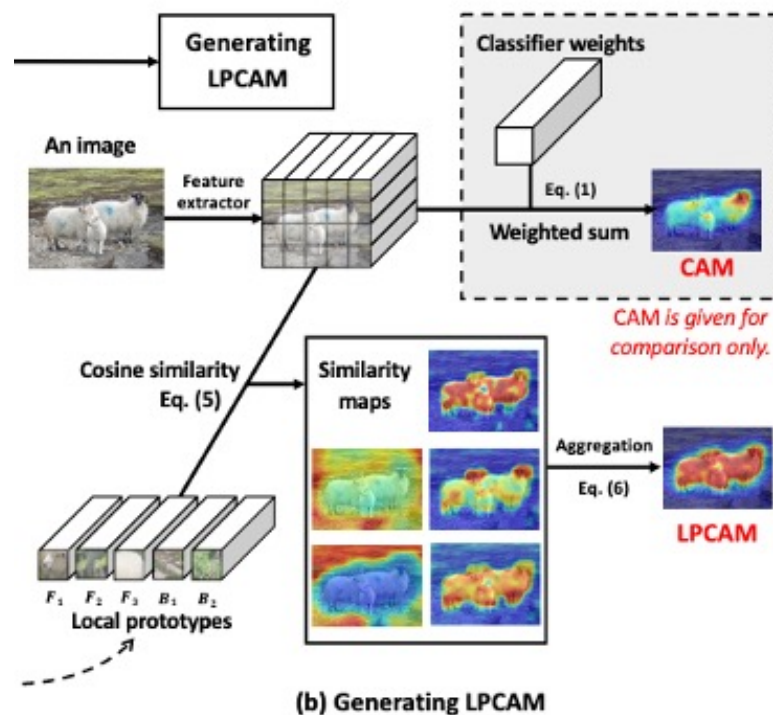
$$BG_n = \frac{1}{K'_2} \sum_{B'_i \in B'} \text{sim}(f(x), B'_i),$$

$$\text{LPCAM}_n(x) = \frac{\text{ReLU}(A_n)}{\max(\text{ReLU}(A_n))},$$

$$A_n = FG_n - BG_n,$$

如何无偏？

包容每一种偏好以达成无偏。

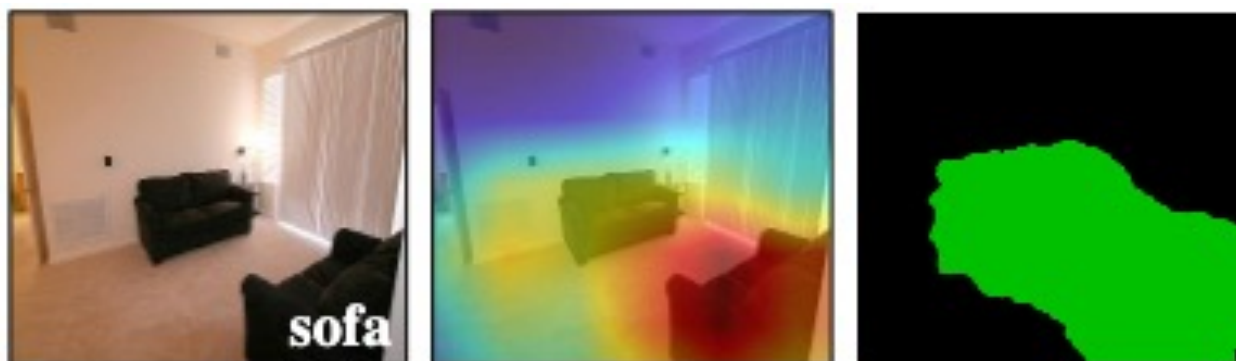


解决方法

19

可能存在的问题：

Q3：明明突出前景集合，为什么还要构建背景的局部原型并进行减处理。

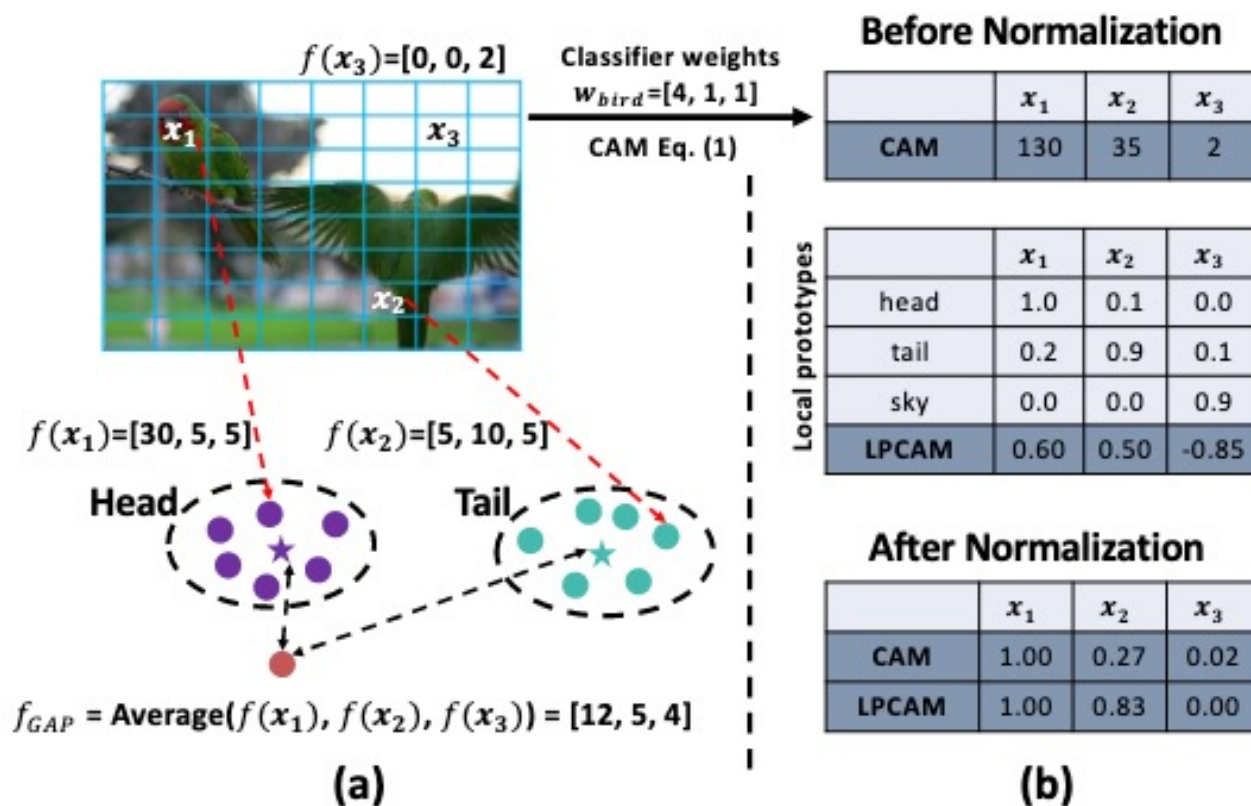


判别模型的另一个问题是：对强共现性事物难以区分。即“沙发”和“地毯”经常一起出现，因此模型会对两者一同产生很强的响应。图A的正响应在图B中或许是负响应，该操作的目的是为了通过B中得到的负响应去消除A中的正响应。

解决方法

20

通过数值分析LPCAM的有效性



1. 有偏分类器是由于全局平均池化造成的；
2. 归一化后，明显能看到弱区分性特征的响应值与强区分性特征的差距缩小。



- 作者介绍
- 研究背景
- 解决方法
- 实验效果
- 总结反思



实验效果

22

CAM、LPCAM(不消除背景)、LPCAM之间的性能差异

	FP	FN	mIoU	Prec.	Recall
CAM	26.5	26.2	48.8	65.0	65.2
LPCAM-F	33.1+6.6	16.2-10.0	52.1+3.3	61.3-3.7	76.6+11.4
LPCAM	29.8+3.3	16.7-9.5	54.9+6.1	64.9-0.1	77.2+12.0

Table 1. An ablation study on VOC dataset. “-F” denotes only the “Foreground” term FG_n is used in Eq. 6. Please refer to the supplementary materials for the results on MS COCO.

FP提升，Precision下降：混杂背景。背景消除之后FP下降、Precision提升。

FN下降，Recall提升：弱区分性特征得到关注。

实验效果



23

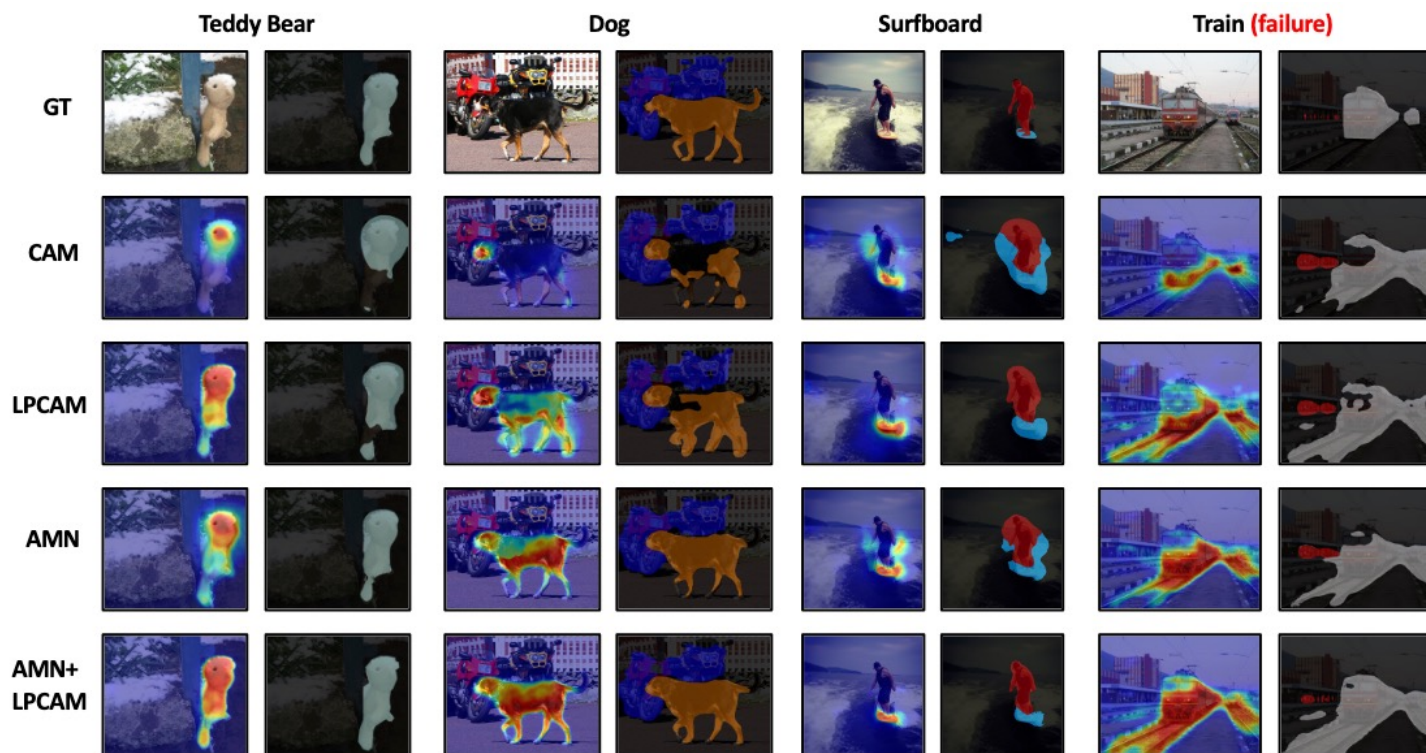
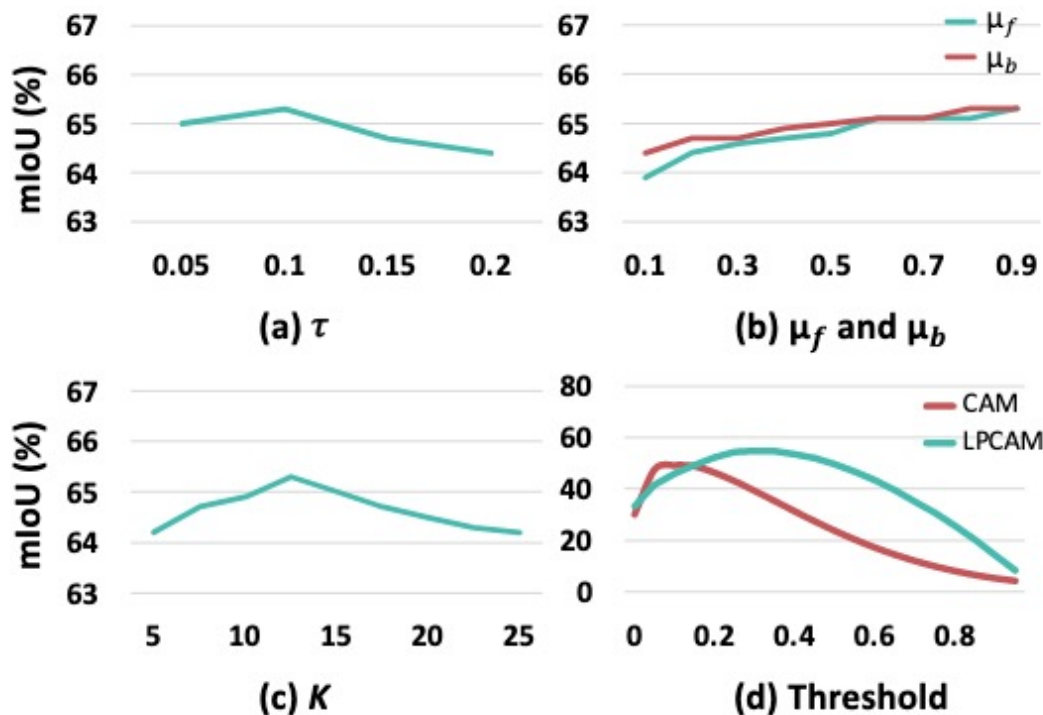


Figure 4. Qualitative results on MS COCO. In each example pair, the left is heatmap and the right is seed mask. *Please refer to the supplementary materials for the qualitative results on VOC.*

1. 弱区分性得到关注；
2. 无法解决超强共现性造成的误分类问题。

实验效果

24



τ :在CAM上划分前景和背景；

$\mu_{f/b}$:从聚类中心筛选可靠中心；

K ：聚类中心个数；

Threshold: 在激活图上划分前景和背景；

实验效果

25

	Methods	Seed Mask		Pseudo Mask	
		CAM	LPCAM	CAM	LPCAM
VOC	IRN [1]	48.8	54.9+6.1	66.5	71.2+4.7
	EDAM [39]	52.8	54.9+2.1	68.1	69.6+1.5
	MCTformer [45]	61.7	63.5+1.8	69.1	70.8+1.7
	AMN [26]	62.1	65.3+3.2	72.2	72.7+0.5
COCO	IRN [1]	33.1	35.8+2.7	42.5	46.8+4.3
	AMN [26]	40.3	42.5+2.2	46.7	47.7+1.0

Table 2. Taking LPCAM as a substitute of CAM in state-of-the-art WSSS methods. Except MCTformer [45] using DeiT-S [35], other methods all use ResNet-50 as feature extractor.

1. 比较掩膜的效果；
2. 不同的分类模型，相同的分割模型。

	Methods	Sal.	VOC		MS COCO
			val	test	val
ResNet-50	IRN [1] CVPR'19		63.5	64.8	42.0
	LayerCAM [19] TIP'21		63.0	64.5	-
	AdvCAM [24] CVPR'21		68.1	68.0	44.2
	RIB [22] NeurIPS'21		68.3	68.6	44.2
	ReCAM [8] CVPR'22		68.5	68.4	42.9
	IRN+LPCAM		68.6	68.7	44.5
	SIPE [7] CVPR'22		68.8	69.7	40.6
	OOD [25]+Adv CVPR'22		69.8	69.9	-
	AMN [26] CVPR'22		69.5	69.6	44.7
	AMN+LPCAM		70.1	70.4	45.5
	ESOL [28] NeurIPS'22		69.9*	69.3*	42.6
	CLIMS [42] CVPR'22		70.4*	70.0*	-
WideResNet-38	EDAM [39] CVPR'21	✓	70.9*	71.8*	-
	EDAM+LPCAM	✓	71.8*	72.1*	42.1
	Spatial-BCE [38] ECCV'22		70.0	71.3	35.2
	BDM [43] ACMMM'22	✓	71.0	71.0	36.7
	RCA [51]+OOA CVPR'22	✓	71.1	71.6	35.7
	RCA [51]+EPS CVPR'22	✓	72.2	72.8	36.8
	HGNN [47] ACMMM'22	✓	70.5*	71.0*	34.5
	EPS [27] CVPR'21	✓	70.9*	70.8*	-
	RPIM [34] ACMMM'22	✓	71.4*	71.4*	-
	L2G [18] CVPR'22	✓	72.1*	71.7*	44.2
DeiT-S	MCTformer [45] CVPR'22		71.9 [†]	71.6 [†]	42.0
	MCTformer+LPCAM		72.6 [†]	72.4 [†]	42.8

Table 4. The mIoU results (%) based on DeepLabV2 on VOC and MS COCO. The side column shows three backbones of multi-label classification model. “Sal.” denotes using saliency maps. * denotes the segmentation model is pre-trained on MS COCO. [†] denotes the segmentation model is pre-trained on VOC.

实验效果

26

Methods	VOC								MS COCO			
	DeepLabV2				UperNet-Swin				DeepLabV2		UperNet-Swin	
	CAM		LPCAM		CAM		LPCAM		CAM	LPCAM	CAM	LPCAM
	val	test	val	test	val	test	val	test	val	val	val	val
IRN [1]	63.5	64.8	68.6+5.1	68.7+3.9	65.9	67.7	71.1+5.2	71.8+4.1	42.0	44.5+2.5	44.0	47.0+3.0
AMN [26]	69.5	69.6	70.1+0.6	70.4+0.8	71.7	71.8	73.1+1.4	73.4+1.6	44.7	45.5+0.8	47.1	48.3+1.2
EDAM [39]	70.9*	70.6*	71.8*+0.9	72.1*+1.5	71.2	71.0	72.7+1.6	72.5+1.5	40.6	42.1+1.5	41.7	43.0+1.3
MCTformer [45]	71.9 [†]	71.6 [†]	72.6 [†] +0.7	72.4 [†] +0.8	70.6	70.3	72.0+1.4	72.5+2.2	-	-	-	-

Table 3. The mIoU results (%) of WSSS using different segmentation models on VOC and MS COCO. Seed masks are generated by either CAM or LPCAM, and mask refinement methods are row titles. * denotes the segmentation model (ResNet-101 based DeepLabV2) is pre-trained on MS COCO. [†] denotes the segmentation model (WideResNet-38 based DeepLabV2) is pre-trained on VOC.

3. 相同的分类模型，不同的分割模型。



- 作者介绍
- 研究背景
- 解决方法
- 实验效果
- 总结反思

总结反思

28

1. 模型对强区分性特征的过度关注是一种 **shortcut learning** 的体现，这会制约模型的泛化能力；
2. 本文的初衷是为了扩大 **CAM** 在目标上的响应区域，这样一种引导模型关注弱区分性特征的构想是值得学习的；
3. 美中不足的是，构建过程是多阶段的，十分繁琐，仅仅适用于目前的 **WSSS** 任务。

